

УДК 548.736

**КРИСТАЛЛОГРАФИЧЕСКИЙ АНАЛИЗ СТРОЕНИЯ РЯДА  
"ТАБЛЕТЧАТЫХ" СУЛЬФИДОВ С Bi, In, Pb**

© 2011 С.В. Борисов, С.А. Магарилл\*, Н.В. Первухина

Учреждение Российской академии наук Институт неорганической химии им. А.В. Николаева СО РАН,  
Новосибирск

Статья поступила 21 апреля 2010 г.

Методом кристаллографического анализа исследовано строение "таблетчатых" сульфидов ( $\text{Cd}, \text{Pb}$ ) $\text{Bi}_2\text{S}_4$  (кудрявит),  $\text{Bi}_3\text{In}_5\text{S}_{12}$ ,  $\text{Pb}_4\text{In}_3\text{Bi}_7\text{S}_{18}$ ,  $\text{Pb}_{1,6}\text{In}_8\text{Bi}_4\text{S}_{19}$ ,  $\text{Pb}_4\text{In}_2\text{Bi}_4\text{S}_{13}$ ,  $\text{Bi}_2\text{In}_4\text{S}_9$  (с плоскостью  $m$ , перпендикулярной трансляции  $\sim 4 \text{ \AA}$ ). Показано, что в основе структур имеются регулярные катионные и анионные подрешетки, сопряжение которых в рамках общей трансляционной ячейки определяется соотношением катион/анион. Следствием независимого коллективного упорядочения катионов становятся сложные варианты заполнения ими отдельных кристаллографических позиций, независимое анионное упорядочение иногда приводит к нестандартным координационным окружениям.

**Ключевые слова:** "таблетчатые" структуры, структурообразующие факторы, катионные и анионные матрицы, строительные блоки, структуры сульфидов и сульфосолей.

**ВВЕДЕНИЕ**

К структурам природных и синтетических сульфидов тяжелых металлов обращено сейчас внимание как минералогов, так и кристаллохимиков [1, 2]. Большое разнообразие составов и универсальность составляющих структуры фрагментов делают этот класс соединений полигоном для изучения механизмов кристаллизации и кардинальной зависимости состав—структура. Значительную часть составляют "таблетчатые" структуры, у которых один из параметров элементарной ячейки около  $4 \text{ \AA}$  — это диаметр аниона  $\text{S}^{2-}$ , а два других существенно больше (10—40  $\text{\AA}$ ). Перпендикулярно к короткому периоду часто имеется зеркальная плоскость симметрии (или просматривается псевдоплоскость), что делает кристаллическую структуру фактически двумерной, сводя ее к одному-двум атомным слоям [3, 4].

В работах Маковицкого с соавторами рассмотрены варианты компоновки "таблетчатых" структур из фрагментов простых структурных типов ( $\text{PbS}$ ,  $\text{SnS}$ ,  $\text{ZnS}$ ...), прослежены законоомерности изменения строения от состава катионов [5—7].

Наш опыт анализа структур сульфидов и сульфосолей показал, что практически во всех случаях имеет место независимое псевдогранслационное упорядочение как катионов, так и анионов, и результирующая кристаллическая структура представляет собой сопряжение катионных и анионных подрешеток с возможными вакансиями в них [4]. Ряд структур с соотношением числа катионов ( $N_k$ ) к числу анионов ( $N_a$ ), близким к единице, был проанализирован в [8]. В данной работе будут представлены результаты анализа кристаллических структур сульфидов тяжелых металлов  $\text{Pb}$ ,  $\text{In}$ ,  $\text{Bi}$ , в которых количественное преобладание анионов вынуждает к формированию существенно различных по параметрам катионных и анионных матриц.

\* E-mail: svetlana@niic.nsc.ru

### РЕЗУЛЬТАТЫ КРИСТАЛЛОГРАФИЧЕСКОГО АНАЛИЗА

Кристаллографический анализ включает нахождение в структуре всех значимых проявлений упорядочения атомов, анализ их сочетаний, представляющих псевдотрансляционные подрешетки, которые образуют основной "силовой" скелет данной структуры, синтез подрешеток с образованием уже подлинной трансляционной решетки с результирующей симметрией.

Исходя из предположения, что движущей силой кристаллизации служит упорядочение атомов системами параллельных плоскостей — кристаллографических плоскостей ( $hkl$ ), с помощью комплекса программ КАП-ПЛАТС (кристаллохимический анализ подобия по плоским атомным сеткам) находим наиболее заселенные атомами заданных сортов плоскости [9, 10]. Любая тройка некомпланарных плоскостей определяет пространственную решетку точек пересечений, к которым приближены данные атомы, т.е. псевдотрансляционную атомную подрешетку. Как правило, выделяется одна подрешетка из наиболее плотнозаполненных атомами плоскостей, в нашем случае включающая зеркальные плоскости симметрии, которые служат инструментом абсолютного упорядочения, поскольку в "таблетчатых" структурах они разделены расстоянием  $\approx 2 \text{ \AA}$  и все атомы расположены точно на них.

В отобранных для анализа шести структурах сульфидов "таблетчатого" типа не оказалось плоскостей, выделяющихся высокой плотностью заполнения для всех атомов. Как и в ранее анализированных нами более простых сульфидах [3, 4], обнаруживается хорошо выраженное

Таблица 1

*Относительные (нормированные на 1) плотности заполнения атомами ( $\rho$ )  
для наиболее плотноупакованных ( $\rho > 0,50$ ) кристаллографических плоскостей ( $hkl$ )  
и их межплоскостные расстояния  $d_{hkl}$*

| $hkl$                       | $d_{hkl}$ | $\rho_k$ | $hkl$  | $d_{hkl}$ | $\rho_a$ | $hkl$ | $d_{hkl}$ | $\rho_k$ | $hkl$ | $d_{hkl}$ | $\rho_a$ |
|-----------------------------|-----------|----------|--------|-----------|----------|-------|-----------|----------|-------|-----------|----------|
| Кудрявыйt ( $Cd,Pb)Bi_2S_4$ |           |          |        |           |          |       |           |          |       |           |          |
| 202*                        | 3,69      | 0,88     | 4 02   | 3,27      | 0,73     | 006   | 2,21      | 0,67     | 5 15  | 2,02      | 0,61     |
| 2 04*                       | 3,64      | 0,85     | 1 13   | 3,10      | 0,66     | 5 15  | 2,02      | 0,68     | 020*  | 2,01      | 1,00     |
| 4 02                        | 3,27      | 0,80     | 203*   | 2,98      | 0,83     | 020*  | 2,00      | 1,00     | 600   | 1,97      | 0,71     |
| 3 11                        | 2,94      | 0,67     | 2 05*  | 2,94      | 0,94     |       |           |          |       |           |          |
| $Bi_3In_5S_{12}$            |           |          |        |           |          |       |           |          |       |           |          |
| 8 02*                       | 3,62      | 0,79     | 1 13   | 3,01      | 0,57     | 304   | 3,68      | 0,66     | 6 01* | 3,50      | 0,51     |
| 004*                        | 3,60      | 0,67     | 10 02* | 2,99      | 0,58     | 6 01* | 3,50      | 0,80     | 3 06  | 2,99      | 0,51     |
| 10 02                       | 2,99      | 0,53     | 005*   | 2,88      | 0,71     | 3 05* | 3,49      | 0,89     | 4 06* | 2,84      | 0,68     |
| 2 06                        | 2,38      | 0,56     | 020*   | 1,94      | 1,00     | 804   | 2,17      | 0,55     | 020*  | 2,01      | 1,00     |
| 020*                        | 1,94      | 1,00     |        |           |          | 020*  | 2,01      | 1,00     |       |           |          |
| 716                         | 1,86      | 0,74     |        |           |          |       |           |          |       |           |          |
| $Pb_{1,6}In_8Bi_4S_{19}$    |           |          |        |           |          |       |           |          |       |           |          |
| 2 04                        | 3,72      | 0,56     | 5 12*  | 3,19      | 0,51     | 600   | 3,55      | 0,42     | 570*  | 2,83      | 0,46     |
| 8 03*                       | 3,57      | 0,74     | 2 05   | 2,92      | 0,67     | 610*  | 3,52      | 0,45     | 171   | 2,73      | 0,39     |
| 601*                        | 3,47      | 0,83     | 113    | 2,78      | 0,51     | 4 60* | 3,40      | 0,55     | 800*  | 2,67      | 0,40     |
| 004                         | 3,31      | 0,51     | 801*   | 2,72      | 0,81     | 401   | 3,30      | 0,43     | 002*  | 2,00      | 1,00     |
| 5 12                        | 3,19      | 0,51     | 020*   | 1,94      | 1,00     | 061   | 2,96      | 0,41     |       |           |          |
| 3 13                        | 3,10      | 0,51     |        |           |          | 002*  | 2,00      | 1,00     |       |           |          |
| 8 07                        | 2,21      | 0,51     |        |           |          |       |           |          |       |           |          |
| 020*                        | 1,94      | 1,00     |        |           |          |       |           |          |       |           |          |

\* Системы плоскостей, образующих наиболее регулярную атомную псевдотрансляционную подрешетку.

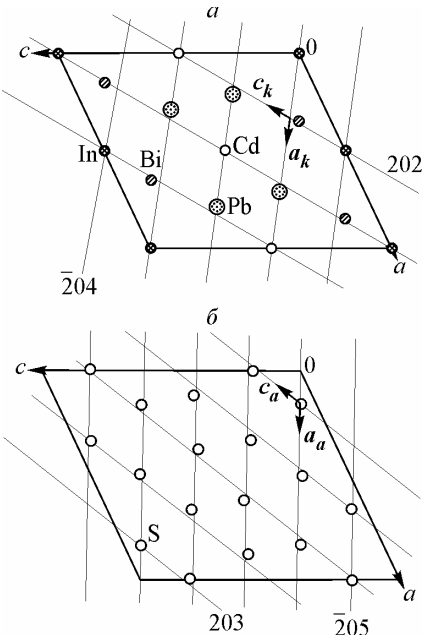
*Рис. 1.* Кудрявят: а) катионная подрешетка на проекции  $xz$  образована пересечением семейств плоскостей  $(\bar{2}04)$ ,  $(202)$ ,  $(020)$ ; катионные позиции ( $\text{Bi}, \text{Pb}$ ) обозначены  $\text{Pb}$ , ( $\text{Bi}, \text{In}$ ) —  $\text{In}$ ; б) анионная подрешетка на проекции  $xz$  образована пересечением семейств плоскостей  $(\bar{2}05)$ ,  $(203)$ ,  $(020)$ ; показаны реальные позиции анионов и трансляции подрешеток  $a_k$ ,  $c_k$  и  $a_a$ ,  $c_a$

раздельное упорядочение в катионной и анионной матрицах. В табл. 1 даны относительные (нормированные на 1) плотности заполнения плоскостей  $(hkl)$  отдельно для катионов и анионов в наиболее важной области значений  $d_{hkl}$  (2—4 Å). Кроме зеркальных плоскостей с максимальной плотностью заполнения, для всех структур есть перпендикулярные к ним плоскости с наиболее высокой плотностью. Взяв за основание подъячеек зеркальные плоскости и еще две системы плоскостей  $(hkl)$ , им перпендикулярные, получаем весьма регулярные для данных атомов псевдотрансляционные подрешетки.

Степень соответствия реальных положений атомов узлам подрешеток можно видеть на рис. 1—3, где для катионов и анионов трех структур показаны их проекции на зеркальную плоскость и следы пересечений этой плоскости перпендикулярными ей плотноупакованными плоскостями (в соответствии с данными табл. 1). Так, для катионной матрицы минерала кудрявита  $(\text{Cd}, \text{Pb})\text{Bi}_2\text{S}_4$ , кристаллоструктурная формула которого (табл. 2) означает, что в элементарной ячейке катион  $\text{Bi}$  занимает полностью одну четырехкратную позицию, смесь  $\text{Pb}$  и  $\text{Bi}$  еще одну четырехкратную позицию, смесь  $\text{Bi}$  и  $\text{In}$  и чистый  $\text{Cd}$  занимают по одной двухкратной позиции (а сера — 4 четырехкратных позиций) — подрешетка катионов образуется пересечением семейств плоскостей  $(\bar{2}04)$ ,  $(202)$  и  $(020)$ , причем в объеме элементарной ячейки будет 24 точки пересечения (это число равно значению детерминанта из индексов плоскостей:  $\det\{\bar{2}04/202/020\}$ ). Поскольку связанные центрирующей  $C$ -трансляцией зеркальные плоскости симметрии проходят в структуре на уровнях  $y = 0$  и  $y = 1/2$ , в  $xz$ -проекции накладываются два узла катионной подрешетки. Из-за малого расстояния между ними ( $1/2b \sim 2$  Å) занят катионом может быть только один, т.е. все 12 потенциально доступных узлов заняты катионами (см. рис. 1, а). Аналогично для 16 анионов серы имеем подрешетку узлов — точек пересечений семейств плоскостей  $(\bar{2}05)$ ,  $(203)$ ,  $(020)$  ( $\det = 32$ ) — также с заполнением половины (см. рис. 1, б).

Менее регулярную картину, судя по относительно более низким плотностям заполнения, следует ожидать для структуры  $\text{Bi}_3\text{In}_5\text{S}_{12}$  (см. табл. 1). Катионная и анионная подрешетки, построенные с участием наиболее заселенных плоскостей, показаны на рис. 2, а, б. Для катионов  $\det\{\bar{8}02/004/020\} = 64$  предоставляет необходимое число узлов 32 катионам, хотя катионы  $\text{In}$  и несколько нарушают регулярность расположения (см. рис. 2, а), оставляя два узла вакантными, но занимая парами атомов другие два узла подрешетки. У анионов же на 50 потенциально доступных узлов подрешетки, образованной точками пересечений плоскостей  $(005)$ ,  $(10\bar{0}2)$  и  $(020)$  ( $\det = 100$ ), в наличии 48 атомов и, следовательно, две анионные вакансии на элементарную ячейку (см. рис. 2, б).

В структуре  $\text{Pb}_4\text{In}_3\text{Bi}_7\text{S}_{18}$  также наблюдаются отдельные нарушения регулярности в катионной и анионной подрешетках, построенных на наиболее заселенных плоскостях (см. табл. 1). Для катионов это плоскости  $(\bar{6}01)$ ,  $(\bar{3}05)$  и  $(020)$  с 27-ю позициями на 28 атомов, для анионов  $(\bar{6}01)$ ,  $(\bar{4}06)$  и  $(020)$  и, соответственно, 32 позиции на 36 атомах. На рис. 3, а, б показаны сетки узлов и реальные положения атомов. Как и в предыдущем примере, более тяжелые катионы ( $\text{Pb}, \text{Bi}$ ) более строго подчиняются упорядочению катионными подрешетками, а часть узлов занимают пары атомов  $\text{In}$  и  $\text{S}$ .



Т а б л и ц а 2

*Стандартные и рассчитанные кристаллоструктурные характеристики для рассмотренных "таблетчатых" сульфидов*

| Стандартные характеристики<br>$a, b, c$ ( $\text{\AA}$ ), угол $\beta$ (град.)   | Кристаллоструктурная формула   | $V_0, V_k, V_a, \text{\AA}^3$ ,<br>$S_m, \text{\AA}^2$ ,<br>$N_k, N_a$        | Параметры подъячейки*  |  |
|--|--|---|--|--|
|  |  |   | катионной  | анионной   |
| (Cd,Pb)Bi <sub>2</sub> S <sub>4</sub> кудрявит [ 11 ]<br>$C2/m$ ,<br>$a$ 13,095, $b$ 4,003, $c$ 14,711,<br>$\beta$ 115,59, $Z$ 4                   | (Bi) <sub>4</sub> (Bi,Pb) <sub>4</sub> (Bi,In) <sub>2</sub> (Cd) <sub>2</sub> ·4(S,Se) <sub>4</sub>        | $V_0$ 695,5,<br>$V_k$ 58,<br>$V_a$ 43,5,<br>$S_m$ 173,5<br>$N_k$ 12, $N_a$ 16 | $a_k$ 3,92<br>$b_k$ 3,98<br>$c_k$ 2,01<br>$\gamma_k$ 111,92<br>( $S_m$ ) <sub>k</sub> 14,5 | $a_a$ 3,65<br>$b_a$ 3,69<br>$c_a$ 2,01<br>$\gamma_a$ 126,26<br>( $S_m$ ) <sub>a</sub> 11,6 |
| Bi <sub>3</sub> In <sub>5</sub> S <sub>12</sub> [ 12 ]<br>$C2/m$ ,<br>$a$ 33,13, $b$ 3,873, $c$ 14,413,<br>$\beta$ 91,21, $Z$ 4                    | 3(Bi) <sub>4</sub> 2(In) <sub>2</sub> 4(In) <sub>4</sub> 12(S) <sub>4</sub>                                | $V_0$ 1848,<br>$V_k$ 57,5,<br>$V_a$ 38,5,<br>$S_m$ 478,<br>$N_k$ 32, $N_a$ 48 | $a_k$ 4,14<br>$b_k$ 4,12<br>$c_k$ 1,94<br>$\gamma_k$ 118,97<br>( $S_m$ ) <sub>k</sub> 15,0 | $a_a$ 3,20<br>$b_a$ 3,31<br>$c_a$ 1,94<br>$\gamma_a$ 115,69<br>( $S_m$ ) <sub>a</sub> 9,6  |
| Pb <sub>4</sub> In <sub>3</sub> Bi <sub>7</sub> S <sub>18</sub> [ 13 ]<br>$P2_1/m$ ,<br>$a$ 21,021, $b$ 4,014, $c$ 18,898,<br>$\beta$ 97,07, $Z$ 2 | 4(Pb) <sub>2</sub> 3(In) <sub>2</sub> 7(Bi) <sub>2</sub> 18(S) <sub>2</sub>                                | $V_0$ 1582,<br>$V_k$ 56,5,<br>$V_a$ 44,<br>$S_m$ 394,<br>$N_k$ 28, $N_a$ 36   | $a_k$ 4,19<br>$b_k$ 4,18<br>$c_k$ 2,00<br>$\gamma_k$ 123,42<br>( $S_m$ ) <sub>k</sub> 14,6 | $a_a$ 4,34<br>$b_a$ 3,52<br>$c_a$ 2,00<br>$\gamma_a$ 126,30<br>( $S_m$ ) <sub>a</sub> 12,3 |
| Pb <sub>1,6</sub> In <sub>8</sub> Bi <sub>4</sub> S <sub>19</sub> [ 14 ]<br>$C2/m$ ,<br>$a$ 29,167, $b$ 3,872, $c$ 15,554,<br>$\beta$ 121,6, $Z$ 2 | (Pb <sub>0,8</sub> ) <sub>4</sub> 4(In) <sub>4</sub> 2(Bi) <sub>4</sub> (S) <sub>2</sub> 9(S) <sub>4</sub> | $V_0$ 1496,<br>$V_k$ 53,5,<br>$V_a$ 39,5,<br>$S_m$ 384,<br>$N_k$ 28, $N_a$ 38 | $a_k$ 4,29<br>$b_k$ 4,17<br>$c_k$ 1,94<br>$\gamma_k$ 123,6<br>( $S_m$ ) <sub>k</sub> 14,8  | $a_a$ 3,38<br>$b_a$ 3,15<br>$c_a$ 1,94<br>$\gamma_a$ 120,12<br>( $S_m$ ) <sub>a</sub> 9,2  |
| Pb <sub>4</sub> In <sub>2</sub> Bi <sub>4</sub> S <sub>13</sub> [ 15 ]<br>$Pbam$ ,<br>$a$ 21,344, $b$ 26,494, $c$ 4,002,<br>$Z$ 4                  | 4(Pb) <sub>4</sub> 2(In) <sub>2</sub> (In) <sub>4</sub> 4(Bi) <sub>4</sub> 13(S) <sub>4</sub>              | $V_0$ 2263,<br>$V_k$ 57,<br>$V_a$ 43,6<br>$S_m$ 565<br>$N_k$ 40, $N_a$ 52     | $a_k$ 4,16<br>$b_k$ 4,01<br>$c_k$ 2,00<br>$\gamma_k$ 122<br>( $S_m$ ) <sub>k</sub> 14,1    | $a_a$ 3,78<br>$b_a$ 3,57<br>$c_a$ 2,00<br>$\gamma_a$ 134<br>( $S_m$ ) <sub>a</sub> 10,1    |
| Bi <sub>2</sub> In <sub>4</sub> S <sub>9</sub> [ 16 ]<br>$P2_1/m$ ,<br>$a$ 16,167, $b$ 3,917, $c$ 11,111,<br>$\beta$ 94,04, $Z$ 2                  | 2(Bi) <sub>2</sub> 4(In) <sub>2</sub> 9(S) <sub>2</sub>  | $V_0$ 702<br>$V_k$ 58,5,<br>$V_a$ 39<br>$S_m$ 178<br>$N_k$ 12, $N_a$ 18       | $a_k$ 4,03<br>$b_k$ 4,42<br>$c_k$ 1,96<br>$\gamma_k$ 123,10<br>( $S_m$ ) <sub>k</sub> 14,9 | $a_a$ 3,87<br>$b_a$ 4,00<br>$c_a$ 1,96<br>$\gamma_a$ 140<br>( $S_m$ ) <sub>a</sub> 9,9     |

\* В параметрах всех подъячеек углы  $\alpha_k$ ,  $\beta_k$ ,  $\alpha_a$ ,  $\beta_a$  равны 90°.

Для катионов структуры Pb<sub>1,6</sub>In<sub>8</sub>Bi<sub>4</sub>S<sub>19</sub> подрешетка на плоскостях (803), (601) и (020) представляет 26 доступных позиций на 28 атомов и проблема решается, как и сказано выше, объединением двух пар катионов In. Анионная подрешетка на плоскостях (205), (801) и (020) обеспечивает 42 доступные позиции для 38 атомов S.

В единственной среди рассмотренных ромбической структуре Pb<sub>4</sub>In<sub>2</sub>Bi<sub>4</sub>S<sub>13</sub> нет плоскостей с достаточно высокой плотностью заполнения как катионами, так и анионами (см. табл. 1). Одна из причин в том, что с повышением симметрии увеличивается число симметрично-связанных плоскостей. Уже для ромбической симметрии плоскость ( $hkl$ ) имеет идентичные аналоги

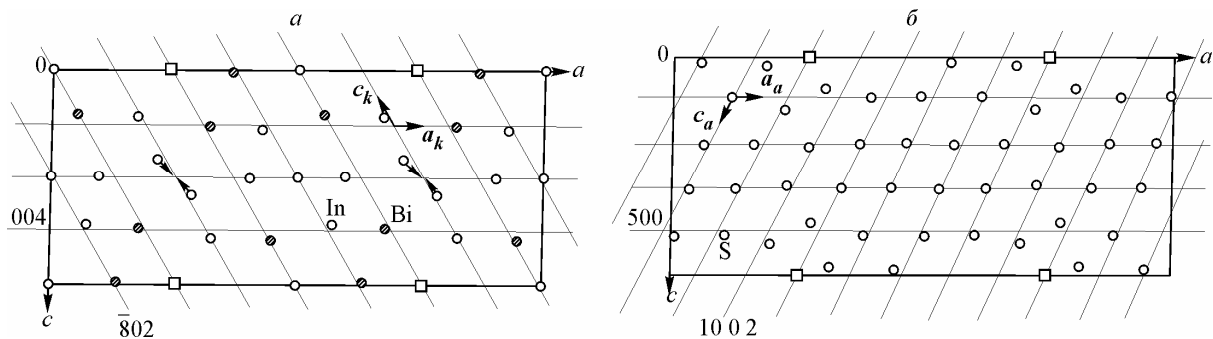


Рис. 2.  $\text{Bi}_3\text{In}_5\text{S}_{12}$ : а) катионная подрешетка на  $xz$ -проекции образована пересечением семейств плоскостей  $(\bar{8}02)$ ,  $(004)$ ,  $(020)$  и позиции катионов In и Bi;  $\square$  — вакантный узел, стрелки у катионов In направлены к проекциям узлов, занятых парой катионов; б) анионная подрешетка на  $xz$ -проекции образована пересечением семейств плоскостей  $(005)$ ,  $(1002)$ ,  $(020)$ ; показаны реальные позиции анионов и трансляции подрешеток  $a_k$ ,  $c_k$  и  $a_a$ ,  $c_a$

$(\bar{h}kl)$ ,  $(h\bar{k}\bar{l})$ ,  $(h\bar{k}\bar{l})$ , т.е. упорядочение атомов одной системой одновременно требует упорядочения и плоскостями трех других ориентаций, что, естественно, вызывает пространственные затруднения. В нашей структуре ситуация осложняется еще и тем, что в пространственной группе  $Pbam$  зеркальные плоскости не эквивалентны. На одной ( $z=0$ ) расположены  $8\text{In} + 8\text{Bi} + 32\text{S}$ , на второй  $16\text{Pb} + 8\text{Bi} + 20\text{S}$  ( $z=1/2$ ). Тем не менее подрешетка на плоскостях  $(\bar{6}10)$ ,  $(\bar{4}60)$  и  $(002)$  предоставляет 40 позиций для 40 катионов, а подрешетка на плоскостях  $(570)$ ,  $(800)$  и  $(002)$  — 56 позиций для 52 анионов S.

Последняя из табл. 2 структура  $\text{Bi}_2\text{In}_4\text{S}_9$  относится к структурному типу  $\text{Ho}_2\text{S}_3$ , который был нами рассмотрен ранее [3].

### ОБСУЖДЕНИЕ РЕЗУЛЬТАТОВ

Если сульфиды с соотношением  $N_k/N_a$ , близким к 1, часто имеют в своих структурах, относящихся к модификациям структурных типов  $\text{PbS}$  или  $\text{ZnS}$ , практически одинаковые катионные и анионные подрешетки, а небольшие несоответствия в составах компенсируются появлением вакансий [8], то при существенном различии этот принцип нарушается.

Рассмотрим подробные характеристики кристаллических структур, собранные в табл. 2. Прежде всего отметим, что при разном катионном составе и разном соотношении  $N_k/N_a$  (0,67—0,78) линейные параметры катионных подрешеток изменяются в пределах нескольких процентов, а отличный от прямого угол  $\gamma_k$  везде близок к  $120^\circ$ , т.е. катионная подрешетка во всех случаях характеризуется практически гексагональной подъячейкой

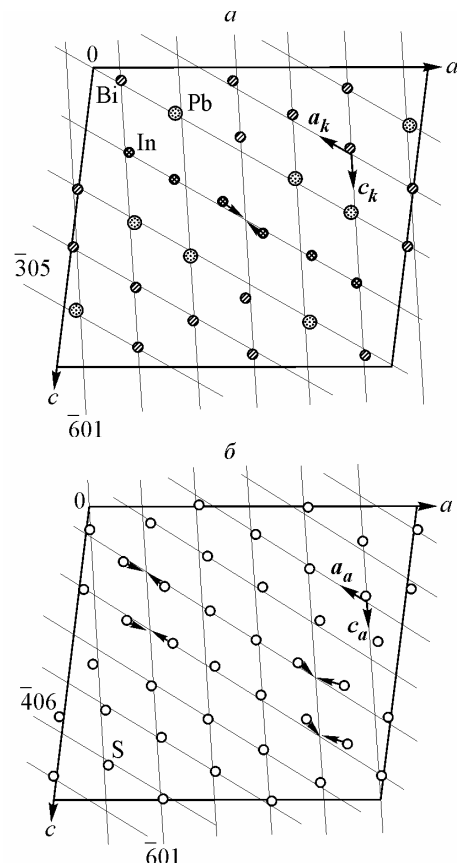


Рис. 3.  $\text{Pb}_4\text{In}_3\text{Bi}_7\text{S}_{18}$ : а) катионная подрешетка на  $xz$ -проекции образована пересечением семейств плоскостей  $(\bar{6}01)$ ,  $(\bar{3}05)$ ,  $(020)$  и позиции катионов Pb, In и Bi; б) анионная подрешетка на  $xz$ -проекции, образованная пересечением семейств плоскостей  $(\bar{6}01)$ ,  $(\bar{4}06)$ ,  $(020)$  и позиции анионов S.

На рис. 3, а отмечены пары катионов In, а на рис. 3, б — пары анионов S, адресованные к совпадающим в проекции узлам соответствующих подрешеток

( $a = b$ ,  $\gamma = 120^\circ$ ). Для анионных подрешеток разброс и линейных, и углового параметров существенно больше, что говорит о ведущей роли тяжелых катионов в структурообразовании. Прямыми следствием этих фактов оказывается и большая стабильность объемов, приходящихся на один катион ( $V_k = 53,5\text{--}58,5 \text{ \AA}^3$ ;  $\Delta \approx 10\%$ ), по сравнению с аналогичной величиной для анионов ( $V_a = 38,5\text{--}44,0 \text{ \AA}^3$ ;  $\Delta \approx 15\%$ ). Имея в виду, что один из параметров решетки для всех "таблетчатых" структур практически одинаков, сопряжение катионной и анионной подъячеек можно рассматривать в двумерном аспекте, т.е. на плоскости  $m$ . Сопряжение записывается как  $S_m = N_k(S_m)_k = N_a(S_m)_a$  для структур, где в подрешетках нет вакантных узлов или, наоборот, нескольких атомов, адресованных к одному узлу ( $(S_m)$ ,  $(S_m)_k$ ,  $(S_m)_a$  — соответственно площади оснований элементарной ячейки, катионной и анионной подъячеек в  $\text{\AA}^2$ ). Несовпадение числа "доступных" узлов подрешетки с числом размещенных в ней атомов свидетельствует о несоответствии структуры и состава и, очевидно, допустимо только в некоторых пределах, при достижении которых происходит перестройка подрешеток. Разнообразное сочетание параметров элементарных ячеек, лежащих в зеркальных плоскостях "таблетчатых" структур, подтверждает тезис о большом числе вариантов сопряжений катионных и анионных подрешеток, лежащих в основе строения этих соединений.

Для природных сульфидов этого класса, представителем которых в табл. 2 служит только минерал кудрявит с кристаллоструктурной формулой  $(\text{Bi})_4(\text{Bi},\text{Pb})_4(\text{Bi},\text{In})_2(\text{Cd})_2\text{S}_4$ , весьма характерно заполнение отдельных структурных позиций двух- (или даже трех-) компонентным набором атомов. Например, для минерала хейровскиита (heyrovskyte)  $\text{Pb}_6\text{Bi}_2\text{S}_9$  [17] реализуется такая кристаллоструктурная формула:  $(\text{Pb})_4(\text{Pb}_{0,79}\text{Bi}_{0,21})_4(\text{Pb}_{0,79}\text{Bi}_{0,21})_8(\text{Ag}_{0,65}\text{Bi}_{0,35})(\text{Bi})_8\text{S}_8$ .

Оставляя открытым вопрос, насколько надежны цифры в скобках (при почти одинаковой рассеивающей способности Pb и Bi!), отметим, что данные факты подтверждают идею стабильности катионных — в данном случае — подрешеток, их ведущей роли в образовании структуры. Имеющиеся в наличии катионы вынуждены размещаться по узлам общей для всех и минимальной по объему ячейки периодической структуры. С кристаллохимических позиций весьма интересна проблема иерархии катионов в таком структурообразовании. Достаточно неожиданна, например, отдельная позиция Cd в кудрявите.

Еще одной особенностью "таблетчатых" структур оказываются большие вариации типов и форм координационного окружения даже для одних и тех же катионов в различных кристаллографических позициях структуры (например, для In и Bi в  $\text{Bi}_3\text{In}_5\text{S}_{12}$  [12]). В рамках фундаментального представления о том, что каждая кристаллическая структура есть результат взаимодействия межатомных сил, определяющих локальное распределение атомов, и сил, организующих дальний порядок, это объясняется участием анионов в коллективном упорядочении по узлам анионной подрешетки, что может не совпадать с требованиями оптимальной координации для близлежащих катионов. Результат компромисса — нестандартное анионное окружение.

В отличие от распространенного в современных структурных работах стереохимического (и топологического) анализа кристаллических структур, касающихся локальных проблем (координация, связи полиэдров, строительные блоки и т.п.), кристаллографический анализ рассматривает механизмы и результаты упорядочения, что, собственно, и отличает кристаллическое состояние от других.

Работа поддержана Российским фондом фундаментальных исследований, грант № 08-08-00087.

#### СПИСОК ЛИТЕРАТУРЫ

1. Moëlo Y., Makovicky E., Mozgova N.N. et al. // Eur. J. Mineral. – 2008. – **20**. – P. 7 – 46.
2. Makovicky E., Topa D. // Canad. Mineral. – 2009. – **47**. – P. 3 – 24.
3. Борисов С.В., Магарилл С.А., Подберезская Н.В., Первухина Н.В. // Журн. структур. химии. – 1997. – **38**, № 5. – С. 908 – 913.
4. Борисов С.В., Магарилл С.А., Первухина Н.В. // Журн. структур. химии. – 2009. – **50**, Прилож. – С. S111 – S116.

5. Makovicky E. // Eur. J. Mineral. – 1993. – **5**. – P. 545 – 591.
6. Makovicky E., Balić-Žunić T., Topa D. // Canad. Mineral. – 2001. – **39**. – P. 1365 – 1376.
7. Topa D., Makovicky E., Balić-Žunić T. // Canad. Mineral. – 2002. – **40**. – P. 1147 – 1159.
8. Борисов С.В., Магарилл С.А., Первухина Н.В. // Журн. структур. химии. – 2009. – **50**, № 5. – С. 890 – 897.
9. Близнюк Н.А., Борисов С.В. // Журн. структур. химии. – 1992. – **33**, № 2. – С. 145 – 165.
10. Борисов С.В., Клевцова Р.Ф., Магарилл С.А. и др. // Журн. структур. химии. – 2002. – **43**, № 4. – С. 664 – 670.
11. Balić-Žunić T., Makovicky E. // Canad. Mineral. – 2007. – **45**. – P. 437 – 443.
12. Krämer V. // Acta Crystallogr. – 1980. – **B36**. – P. 1922 – 1923.
13. Krämer V., Reis I. // Acta Crystallogr. – 1986. – **C42**. – P. 249 – 251.
14. Krämer V. // Acta Crystallogr. – 1983. – **C39**. – P. 1328 – 1329.
15. Krämer V. // Acta Crystallogr. – 1986. – **C42**. – P. 1089 – 1091.
16. Chapuis G., Gnehm C., Krämer V. // Acta Crystallogr. – 1972. – **B28**. – P. 3128 – 3130.
17. Makovicky E., Mumme W.G., Hoskins B.F. // Canad. Mineral. – 1991. – **29**. – P. 553 – 559.